



## Yozgat Batoliti Kuzey Bölümündeki Lökogranitlerin Petrolojisi

### Petrology of Leucogranites From the Northern Part of Yozgat Batholith

Musa Avni AKÇE

Erciyes Üniversitesi, Jeoloji Mühendisliği Bölümü, 66100, Yozgat  
E-posta: makce@erciyes.edu.tr

Yusuf Kağan KADIOĞLU

Ankara Üniversitesi, Jeoloji Mühendisliği Bölümü, 06100, Ankara  
e-posta: kadi@eng.ankara.edu.tr

### Öz

Yozgat Batoliti, Orta Anadolunun kuzeyine düşmekte ve Orta Anadolu Kristalen Karmaşığının en büyük felsik plutonunu temsil etmektedir. İnceleme alanı başlıca granitik ve gabroyik kayaçlardan meydana gelmektedir. Granitik kayaçlar pembe renkli olup, çalışma alanının en yaygın birimini oluşturmaktır ve kendi içerisinde 3 alt birime ayrılmaktadır. Bunlar iri taneli biyotit muskovit granit, ince taneli biyotit muskovit granit ve iri kuvarslı ince taneli muskovit granittir. Bütün bu alt birimler birbirleri ile tedrici dokanak ilişkisi sergilemeye ve hiç birisinde mafik mikrogranuler anklav görülmemektedir.

Mikroskop çalışmalarına göre; granitlerin bütün alt birimleri farklı oranlarda başlıca kuvars, K-feldispat, mika ve granat mineralleri içermektedir.

Tüm kayaç jeokimyası sonuçlarına göre; granitler subalkalın magmatik kayaçlar olup, kalkalkalın bileşimdedirler. Tektonik ayırtman diyagramlarına göre bu granitlerin daha çok çarpışmayla-eş yaşı granitlerin alanlarına düşüğü görülmektedir. Granitlerin ORG'a göre normalize edilmiş profilleri SyncolG ile benzer ilişki sergilemeye, LIL elementler açısından zenginleşme ve HFS elementler açısından ise fakirleşme göstermektedirler.

**Anahtar Sözcükler:** Yozgat Batoliti, S-tipi Granit, Petroloji

### Abstract

*Yozgat Batholith is exposed to the northern part of Central Anatolia and represents the biggest felsic plutonic body of Central Anatolian Crystalline Complex. The research area represents mainly by granitic and gabbroic rock units. The granitic rocks are pinkish in color and comprise the main part of the area, which are further differentiated into 3 subunits. These are, coarse crystalline biotite muscovite granite, fine crystalline biotite muscovite granite and fine crystalline muscovite granite with coarse quartz grains. All these subunits have transitional contact with each other and do not have any mafic microgranular enclaves.*

*Microscopic studies reveal that all the subunits of the granitic rocks are mainly composed of quartz, K-feldspar, mica and garnet minerals with different proportions.*

*Whole rock geochemistry reveals that granitic rock units are subalkaline magmatic rocks and are calc-alkaline in nature. Tectonic discrimination diagrams for the granite rocks suggest that the granite of northern part of Yozgat Batholith are within the syn-collision granite and ORG-normalized elemental patterns for all the subunits of the granite have similar patterns which are characterized by enrichment in LIL with respect to HFS elements.*

**Key Words:** Yozgat Batholith, S-type Granite, Petrology

## 1. GİRİŞ

Orta Anadolu, Türkiye'nin orta kısmında bulunan, Delice ve Kızılırmak'ı içine alan ve ülkemizin yayılım açısından ikinci, tazelik açısından ise birinci derecedeki granitik kütelerini içeren bölgesidir. Çalışma alanı Orta Anadolu'da, kuzeyde Yozgat il merkezi ile güneyde Azizli ve Divanlı köyleri, batıda Sarıhacılı köyü ve doğuda ise Recepli köylerini içerisine alan bir bölgede yer almaktadır. Yozgat Batoliti, "Orta Anadolu Kristalén Karmaşığı" (OAKK) (Göncüoğlu vd., 1991; 1992; 1993) içerisindeki en büyük intruzif kütleyi teşkil etmektedir (Şekil 1). Bu karmaşığın granitoyid bileşimli kayaçları "Orta Anadolu Granitoyidleri" (OAG) olarak adlandırılmıştır (Erler ve Bayhan, 1995). OAG, yaklaşık üçgen biçimli bir alanda yüzeyleyen OAKK'mın batı ve doğu kenarı boyunca yer alan irili ufaklı plutonlar ve kuzeyde en büyük kütle olan Yozgat Batoliti'nden oluşur (Erler vd., 1991; Erler ve Göncüoğlu, 1996; Gençalioğlu-Kuşcu, 1999). Karmaşığın batı kenarındaki granitoyidler yoğun bir şekilde çalışılmakla birlikte, doğu ve Yozgat Batoliti'nin bulunduğu kuzey kenarındaki çalışmalar daha kısıtlıdır.

OAKK üzerinde yapılan tüm petrojenez çalışmaları, Orta Anadolu Kristalén Karmaşığı'nın bir çarpışmanın doğrudan veya dolaylı ürünü olduğunu ortaya koymustur (Erler vd., 1991; Göncüoğlu vd., 1991; 1992; 1993; Akıman vd., 1993; Güleç, 1994; Erler ve Bayhan, 1995; Güleç vd., 1996; Güleç ve Kadioğlu, 1998; Boztuğ, 1998; Yalınız vd., 1999; Gençalioğlu-Kuşcu, 1999; Akçe, 2003; Akçe ve Kadioğlu, 2003; Kadioğlu vd., 2003).

Ketin (1955), Yozgat bölgesinin jeolojisini incelediği çalışmasında, bölgedeki derinlik kayaçlarını "kristalin kayalar" şeklinde tanımlamış, bunları asidik ve bazik olarak 2 gruba ayırmıştır. Arazi gözlemleri ve mineralojik-petrografik çalışmalar neticesinde; her iki grup plutonun mineralojik-petrografik açıdan homojen olmadığını, arazi çalışmalarında asidik ve bazik

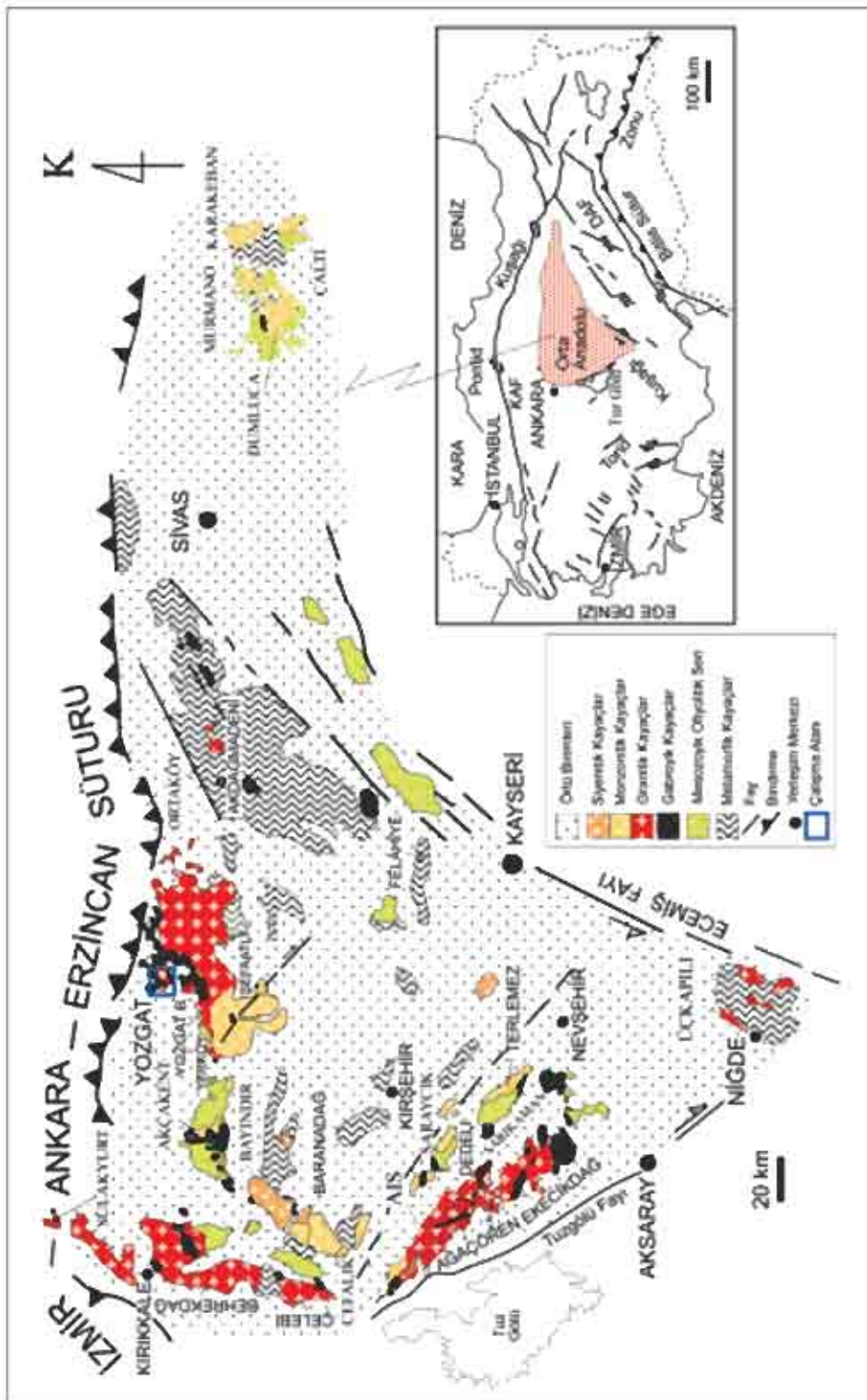
plutonların birbirleriyle girdit halde bulunduklarını, arasında kesin bir dokanak bulunmadığını ve büyük bir ihtimalle aynı yaşta olduklarıı belirtmiştir. Ayrıca granitik kayaçların metamorfik serisi kestiğini, kristalin kayaçların üzerinde de temelinde kumtaş, onun üzerinde fosilli kireçtaşı, mermere ve en üstte tuf ve lavların bulunduğu Lutesyen'in yer aldığı belirtmiştir. Bu durumda da kristalin kayaçların yaşlarının Lutesyen'den önce ve Üst Kretase'den sonra ait olabileceklerini ileri sürmüştür.

Yozgat Batolitindeki granitoyidler; jeokimyasal açıdan değişik araştırmacılar (Büyükönal, 1979; Dalkılıç, 1985; Erler vd., 1991; Boztuğ, 1995; Erler ve Bayhan, 1995; Erler ve Göncüoğlu, 1996; Erdoğan vd., 1996; Ekici, 1997; Ekici ve Boztuğ, 1997; Tatar, 1997; Tatar ve Boztuğ, 1997; 1998; Aydin vd., 1998; Gençalioğlu-Kuşcu, 1999; Akçe, 2003; Akçe ve Kadioğlu, 2003) tarafından incelenmiştir.

Erler ve Göncüoğlu (1996)'ya göre; Yozgat Batoliti tek bir pluton olmayıp, Kretase ofiyolitik melanj, Eosen örtü birimleri ve/veya faylarla sınırlanan, mineralojik jeokimyasal olarak da birbirinden farklı Yerköy-Şefaatlı, Yozgat, Kerkenez, Karlitepe, Mükremîn, Gelingüllü, Ocaklı, Sivritepe ve Mugallî şeklinde haritalanabilir alt birimlere ayrılmış ve bunlar Yozgat alt biriminin peraluminyumlu lökogranitleri dışında, esasen subalkali-kalkalkalı karakterli metaluminalı monzogranitlerden oluşmaktadır. Bu araştırmacılar, granitoyidlerin, kıtasal kabuk kalınlaşması ve buna ilişkin kısmı ergimeyle türediklerini, kalınlaşmaya çalışma olayları boyunca ofiyolitik napların yerleşmesinin neden olduğunu belirtmişlerdir.

Bu çalışmanın amacı, Yozgat Batoliti'nin Kuzey bölümünde yer alan lökokrat granitoyidinin jeoloji, petrografi ve petrolojisinden yararlanarak kökenini ortaya koymaktır.

## 2. GENEL JEOLOJİ VE PETROGRAFİ



**Şekil 1.** Orta Anadolu Kristalén Karmaşığı'nın jeoloji ve çalışma alanı yer bulduru haritası (Kadıoğlu ve Güleç, 1999).

**Figure 1.** Geology and location map of the study area within the Central Anatolian Crystalline Complex (Kadıoğlu and Güleç, 1999).

Yozgat Batoliti, çok farklı bileşimdeki granitoyid ve gabroyik kayaçlardan oluşmaktadır ve Orta Anadolu'nun Kretase ve Paleosen döneminde gelişen magmatizmaya ışık tutmaktadır. Çalışma alanı, Orta Anadolu Kristal Kırmaşığı'nın Kuzey bölümünde yer alan Yozgat Batoliti'nin yaklaşık KKD bölümünü teşkil etmektedir.

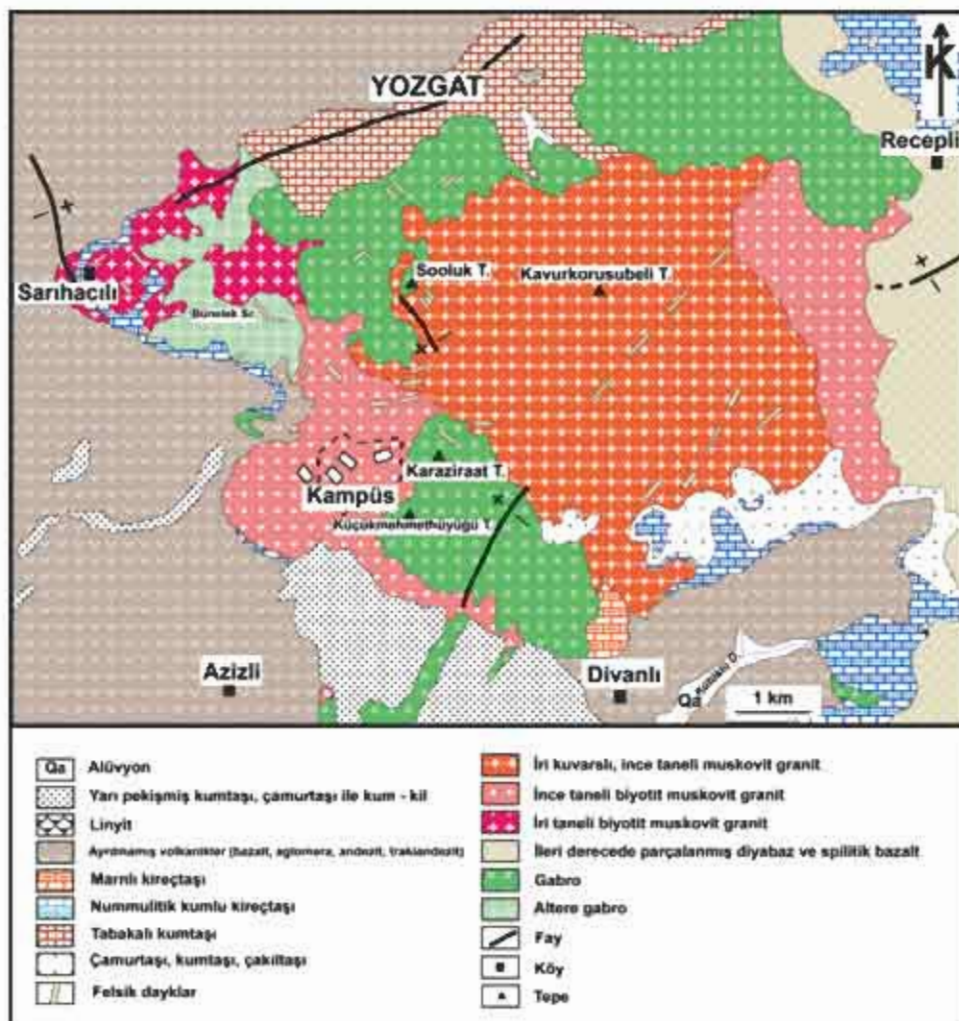
Çalışma alanı; esas olarak farklı bileşim ve özellikteki granitik, gabroyik ve bazaltik kayaçlarla kaplı olup, fosilli kireçtaşı, kumtaşı ve marnlı kireçtaşı gibi sedimanter örtü birimleri de gözlenmektedir (Şekil 2).

İnceleme alanı granitik kayaçları başlıca açık renkli granitlerden (lökogranitlerden) oluşturmaktadır. Bu kayaçlar Yozgat il merkezinin güneyinde; tipik olarak Sarıhacılı köyü çevresi ve Divanlı köyünün Kuzey bölümünde yüzlek vermektedirler. Açık renkli bu

granitler, mineralojik bileşimleri ve dokusal özelliklerine göre kendi içerisinde 3 ayrı alt gruba ayrılmıştır. Bunlar; iri taneli biyotit muskovit granitler, ince taneli biyotit muskovit granitler ve iri kuvarslı ince taneli muskovit granitlerdir. Bütün bu birimler kendi içerisinde tedrici dakanak ilişkisi göstermektedirler. Ayrıca bu birimlerin tamamı, yaklaşık KD-GB istikametinde uzanan aplitik dayk şeklindeki ince taneli muskovit alkali feldispat granitler tarafından kesilmektedir. Yine bu granitik kayaçların hiç birisinde mafik mikrogranuler anklavlalar gözlenmemektedir.

Bu açık renkli granitler genel olarak kuvars, K-feldispat, mika ve oligoklas mineral bileşiminden oluşmaktadır. Bunun yanında tali bileşenler olarak özellikle granat gözlenirken, zirkon, titanit, apatit ve opak mineraller de kayaçlarda yer almaktadır.

Iri taneli biyotit muskovit granitler tipik olarak



Şekil 2. Çalışma alanının jeoloji haritası.

Figure 2. Geological map of the study area.

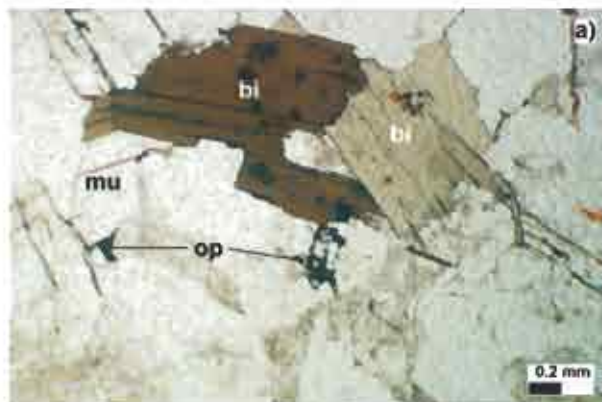
Sarhacılı köyü ve çevresinde yüzlek vermektedirler. Oldukça taze olan bu kayaçlar fanneritik dokulu olup, eş tane boyutlu biyotit, muskovit, alkali feldispat ve kuvarslardan meydana gelmiştir (Şekil 3). Biyotitler oldukça iri olup levhamsı şekillidirler (Şekil 4). Ayrıca tali mineral olarak özsekilsiz granat içermektedir (Şekil 5). Bu birim sık eklemli olup, eklem sıklığı 10 cm'den 50 cm'ye kadar değişebilmektedir. Sarhacılı'nın kuzeysinde gözlenen kuvars mercekleri bu granitleri kesmektedir. Bölgede yer yer bazalt apofizleri granite sokulum yapmakta ve graniti kesmektedir.

İnce taneli biyotit muscovit granitler, oldukça



**Şekil 3.** İri taneli biyotit muscovit granitin arazi görüntüsü

**Figure 3.** Field view of coarse crystalline biotite muscovite granite



**Şekil 4.** İri taneli biyotit muscovit granitte, biyotit ve muscovit minerallerinin fotomikrografi a) tek nikol, b) çift nikol görüntüsü (bi: biyotit, mu: muscovit, or: ortoklaz, op: opak mineral)

**Figure 4.** Photomicrograph of biotite and muscovite within the coarse grain biotite muscovite granite a) Parallel Nichol, b) Cross Nichol (bi: biotite, mu: muscovite, or: orthoclase, op: opaque mineral)



**Şekil 5.** İri taneli biyotit muscovit granitte gözlenebilen granatların fotomikrografi a) tek nikol, b) çift nikol görüntüsü (gr: granat, bi: biyotit, or: ortoklaz, ku: kuvars)

**Figure 5.** Photomicrograph of garnet within the coarse grain biotite muscovite granite a) Parallel Nichol, b) Cross Nichol (gr: garnet, bi: biotite, or: orthoclase, ku: quartz)

ince taneli ve açık renkli kayaçlardır. Erciyes Üniversitesi Yozgat Erdoğan Akdağ Kampüsü'nün de üzerinde bulunduğu bu birim alkali feldispatca oldukça zengindir (Şekil 6). Bazi kesimlerinde mafik mineraler gözlenmemektedir. Ince taneli biyotit muskovit granitlerde biyotitler ince taneli olup, genelde mineral kümelenmeleri şeklinde kayacın içerisinde yer almaktadır (Şekil 7). Bu birimde iki ana eklem sistemi gözlenmektedir. Bunlardan birincisi K50B / 73 KD, diğer ise K50D / 63 KB istikametindedir.

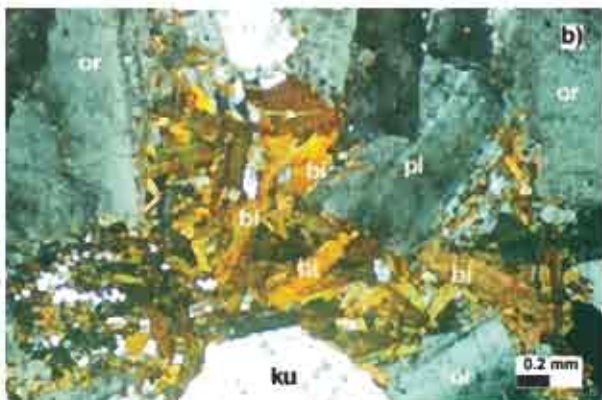
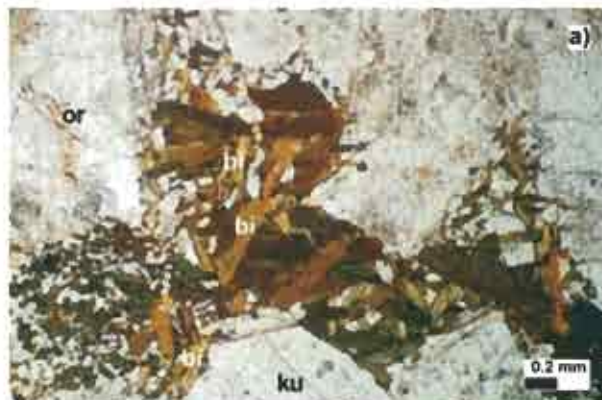
Iri kuvarslı ince taneli muskovit granitler, açık renkli ve genelde ince taneli olup, içerisinde bol miktarda oldukça iri taneli gözlü kuvarslar gözlenmektedir (Şekil 8). Bu şekilde farklı tane boyutu göstermesiyle el örneğinde porfirofaneritik, mikroskop altında ise holokristalin porfirik doku özelliğini sergilemektedir (Şekil 9).



**Şekil 6.** İnce taneli biyotit muscovite granitlerin arazi görüntüsü.

*Figure 6. Field view of fine crystalline biotite muscovite granite.*

### 3. JEOKİMYA



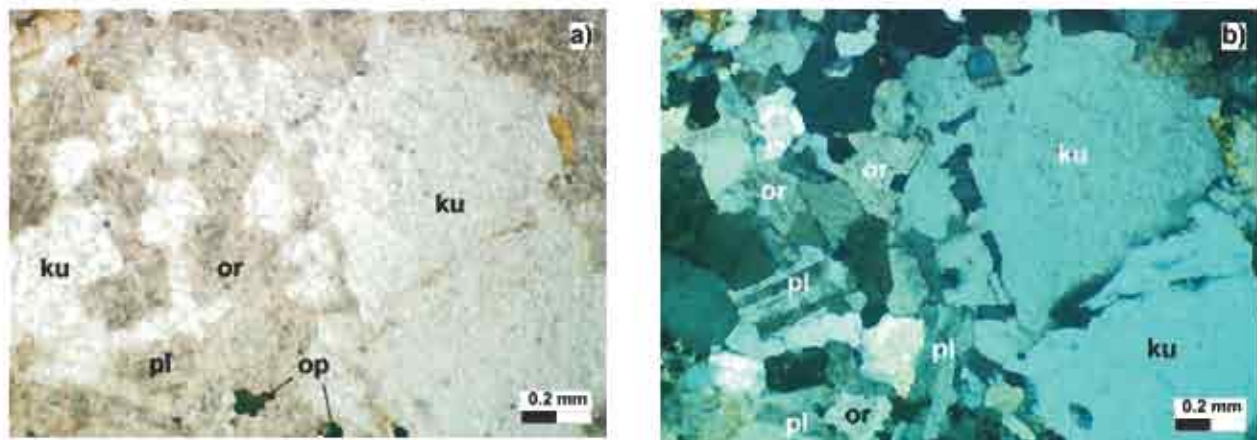
**Şekil 7.** İnce taneli biyotit muskovit graniteki ince taneli biyotitlerin mineral kümelenmeleri oluşturmalarının fotomikrografi a) tek nikol görüntüsü, b) çift nikol görüntüsü (bi: biyotit, or: ortaklaz, pl: plajiyoklaz, ku: kuvars)

*Figure 7. Photomicrograph of fine grain biotite segregation within the fine grain biotite muscovite granite. a) Parallel Nichol, b) Cross Nichol (bi: biotite, or: orthoclase, pl: plagioclase, ku: quartz).*



**Şekil 8.** İnce taneli muskovit granitindeki iri kristal kuvarsların arazi görüntüsü.

*Figure 8. Field view of coarse crystalline quartz within fine crystalline muscovite granite.*



**Şekil 9.** İri kuvarslı ince taneli muskovit granitte gözlenen holokristalın porfirkik dokunu fotomikrografı a) tek nikol görüntüsü, b) çift nikol görüntüsü (ku: kuvars, or: ortoklaz, pl: plajiyoklaz, op: opak mineral)

**Figure 9.** Photomicrograph of holocrystalline porphyritic texture and coarse crystalline quartz within fine grained muscovite granite a) Parallel Nichol, b) Cross Nichol (ku: quartz, or: orthoclase, pl: plagioclase, bi: biotite, op: opaque mineral)

Saha gözlemleri ve polarizan mikroskop altında incekesit incelemeleri neticesinde; İri taneli biyotit muskovit granit, ince taneli biyotit muskovit granit ve İri kuvarslı ince taneli muskovit granit birimlerinden toplam 21 adet taze örnek seçilerek tüm kayaç jeokimyasal analizleri yapılmıştır. Bu örneklerden 10 tanesi İri taneli biyotit muskovit granit, 3 tanesi ince taneli biyotit muskovit granit ve 8 tanesi de İri kuvarslı ince taneli muskovit granit kayaçlarından ayırlanmıştır. Bu analizler, ana oksit ve eser element olarak Kanada'da Acme laboratuvarlarında yaptırılmıştır. Ana oksitlerin analizleri ICP, eser elementlerin analizleri ise ICP-MS ile yapılmış ve USGS standartlarına göre SO-17 / CSB, SO-

17 ve DS4 standartlarında örneklerin kalibrasyonları yapılmıştır. Örneklerin ana oksit analiz sonuçları Çizelge 1'de, eser element analiz sonuçları Çizelge 2'de ve nadir toprak elementleri (NTE=REE) analiz sonuçları ise Çizelge 3'de verilmiştir.

Yozgat Batoliti'nin kuzey bölümündeki lögögranitlerin tamamı,  $\text{SiO}_2$ 'ye karşılık toplam alkali diyagramında (Irvine ve Baragar, 1971) subalkalın karakter sergilemektedirler (Şekil 10.a). Subalkalın karakterli bu kayaçların, AFM diyagramına (Irvine ve Baragar, 1971) yerleştirildiğinde de kalkalkalın yönelikinde oldukları görülmektedir (Şekil 10.b).

Yozgat Batoliti kuzey kesimi lögögranitlerinin

**Çizelge 1.** Kayaç örneklerine ait ana oksit element analiz sonuçları (ağırlık %)

**Table 1.** Major oxide analyses from rock samples in study area (weight %)

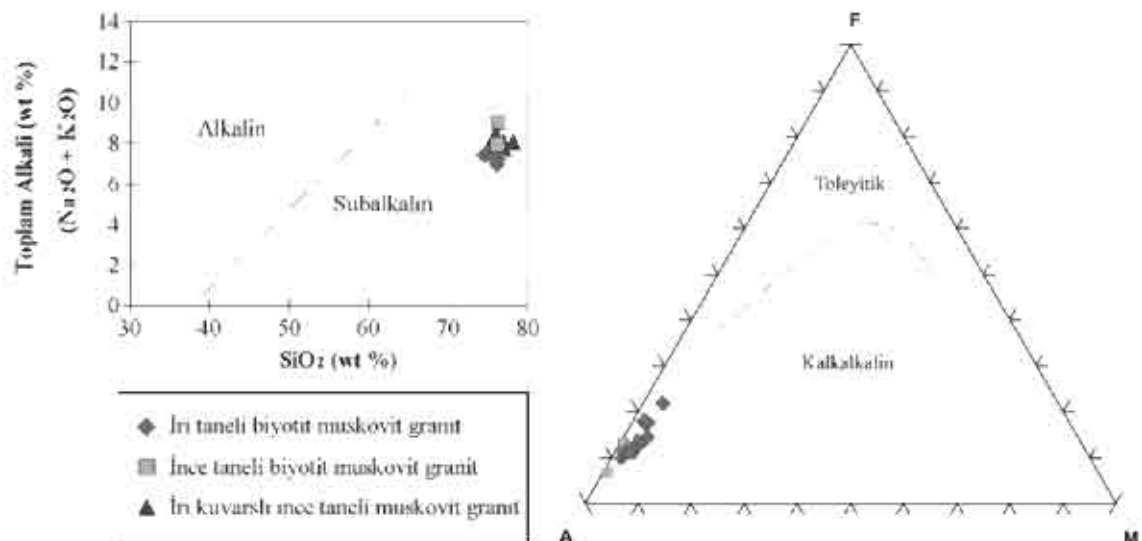
Örnek No	Kayaç Adı	$\text{SiO}_2$ %	$\text{Al}_2\text{O}_3$ %	$\text{Fe}_2\text{O}_3$ %	$\text{MgO}$ %	$\text{CaO}$ %	$\text{Na}_2\text{O}$ %	$\text{K}_2\text{O}$ %	$\text{TiO}_2$ %	$\text{P}_2\text{O}_5$ %	$\text{MnO}$ %	$\text{Cr}_2\text{O}_3$ %	$\text{LOI}$ %	Toplam %
Yk-2	İri Kuvarslı İnce Tanelli Muskovit Granit	75.40	12.87	1.77	0.21	0.34	3.22	4.66	0.10	0.03	0.01	0.03	0.87	99.55
Yk-3	İri Kuvarslı İnce Tanelli Muskovit Granit	76.30	12.50	0.98	0.33	0.28	3.87	4.23	0.12	0.04	0.02	0.06	0.84	99.60
Yk-5	İri Kuvarslı İnce Tanelli Muskovit Granit	77.10	12.50	1.10	0.25	0.43	3.10	4.65	0.14	0.01	0.02	0.02	0.76	100.15
Yk-6	İri Kuvarslı İnce Tanelli Muskovit Granit	76.90	12.10	1.32	0.28	0.45	3.04	5.02	0.09	0.02	0.03	0.01	0.77	100.08
Yk-7	İri Kuvarslı İnce Tanelli Muskovit Granit	76.32	12.84	0.97	0.37	0.46	3.26	4.67	0.15	0.03	0.01	0.04	0.89	100.03
Yk-8	İri Kuvarslı İnce Tanelli Muskovit Granit	78.20	12.30	1.03	0.30	0.47	3.21	4.86	0.13	0.02	0.03	0.02	0.30	100.92
Yk-62	İri Kuvarslı İnce Tanelli Muskovit Granit	76.34	12.12	1.03	0.27	0.43	3.26	4.32	0.19	0.05	0.04	0.05	0.79	99.29
Yk-32	İri Kuvarslı İnce Tanelli Muskovit Granit	75.98	12.87	1.12	0.24	0.42	3.72	4.76	0.17	0.04	0.01	0.01	0.83	100.20
Y24-01	İri Taneli Biyotit Muskovit Granit	75.41	12.82	0.88	0.18	0.60	3.41	4.54	0.06	0.01	0.04	0.10	1.00	99.48
Y34-01	İri Taneli Biyotit Muskovit Granit	74.60	12.48	2.16	0.39	1.29	2.93	4.51	0.15	0.03	0.06	0.08	0.80	99.72
Y35-01	İri Taneli Biyotit Muskovit Granit	76.21	12.52	1.31	0.18	0.52	3.15	4.73	0.08	0.01	0.08	0.11	0.40	99.65
Yk-21	İri Taneli Biyotit Muskovit Granit	75.23	13.65	1.65	0.24	0.62	3.45	4.12	0.01	0.01	0.02	0.02	0.78	99.85
Yk-23	İri Taneli Biyotit Muskovit Granit	75.98	13.54	1.02	0.32	0.53	3.54	4.12	0.05	0.02	0.01	0.03	0.87	100.10
Yk-25	İri Taneli Biyotit Muskovit Granit	75.87	12.98	0.97	0.21	0.43	3.12	4.65	0.02	0.03	0.03	0.01	0.79	99.14
Yk-29	İri Taneli Biyotit Muskovit Granit	76.32	12.87	1.24	0.39	0.32	3.65	4.21	0.04	0.01	0.04	0.03	0.76	99.97
Yk-32	İri Taneli Biyotit Muskovit Granit	76.12	13.65	1.54	0.21	0.31	3.11	3.87	0.04	0.04	0.04	0.02	0.69	99.71
Yk-33	İri Taneli Biyotit Muskovit Granit	76.34	13.09	1.32	0.43	0.53	3.50	3.94	0.05	0.01	0.01	0.01	0.71	100.01
Yk-35	İri Taneli Biyotit Muskovit Granit	75.65	13.67	1.61	0.32	0.43	3.17	4.16	0.02	0.04	0.02	0.03	0.83	100.01
Y27-01	İnce Taneli Biyotit Muskovit Granit	76.19	12.85	1.22	0.07	0.33	3.01	5.07	0.04	0.01	0.02	0.05	0.70	99.70
Y31-01	İnce Taneli Biyotit Muskovit Granit	76.29	12.31	0.64	0.09	0.38	2.10	6.92	0.04	0.01	0.01	0.05	0.80	99.78
Y33-01	İnce Taneli Biyotit Muskovit Granit	76.12	12.10	1.12	0.11	0.77	2.64	5.26	0.04	0.01	0.03	0.05	1.50	99.86

**Çizelge 2.** Kayaç örneklerine ait eser element analiz sonuçları (ppm)  
**Table 2.** Trace element analyses from rock samples in study area (ppm)

Örnek No	Kayaç Adı	Co ppm	Cs ppm	Ga ppm	Hf ppm	Nb ppm	Rb ppm	Sn ppm	Sr ppm	Ta ppm	Th ppm	U ppm	V ppm	W ppm	Zr ppm	Y ppm
Yk-2	İri Kuvarslı İnce Taneli Muskovit Granit	3.20	2.40	12.40	2.10	12.10	156.40	1.00	55.20	0.90	21.00	3.50	26.00	3.66	88.00	56.00
Yk-3	İri Kuvarslı İnce Taneli Muskovit Granit	4.20	2.60	12.60	2.60	11.40	189.00	2.00	45.40	0.32	28.00	3.90	25.00	5.76	89.00	51.00
Yk-5	İri Kuvarslı İnce Taneli Muskovit Granit	2.50	1.40	13.50	3.60	10.30	196.40	2.10	54.30	0.43	26.00	4.20	24.00	6.60	84.00	50.00
Yk-6	İri Kuvarslı İnce Taneli Muskovit Granit	3.30	1.60	13.70	3.80	13.10	201.00	2.30	58.00	0.63	31.00	4.10	21.00	7.76	76.00	48.30
Yk-7	İri Kuvarslı İnce Taneli Muskovit Granit	2.40	1.60	14.80	3.60	10.00	201.20	2.10	58.98	1.43	33.00	4.65	20.10	8.21	98.00	42.88
Yk-8	İri Kuvarslı İnce Taneli Muskovit Granit	3.60	2.40	14.10	3.10	12.00	189.43	2.80	61.80	1.65	26.00	4.10	23.00	8.90	73.00	52.80
Yk-62	İri Kuvarslı İnce Taneli Muskovit Granit	3.80	1.80	12.11	2.90	11.40	200.76	1.30	47.20	1.30	21.00	3.50	20.00	7.43	81.00	49.10
Yk-32	İri Kuvarslı İnce Taneli Muskovit Granit	3.90	2.40	11.70	3.10	13.20	231.00	1.40	42.00	1.43	27.00	3.71	16.00	7.10	101.00	51.00
Y24-01	İn Taneli Biyotit Muskovit Granit	4.00	20.40	14.30	3.00	24.80	541.80	4.00	15.90	4.70	31.60	11.00	6.00	4.30	54.30	58.50
Y34-01	İn Taneli Biyotit Muskovit Granit	5.80	4.60	13.60	3.10	10.30	358.80	2.00	54.20	1.30	22.40	6.90	8.00	7.60	72.70	16.60
Y35-01	İn Taneli Biyotit Muskovit Granit	5.20	21.30	16.20	3.20	24.70	538.50	6.00	20.20	4.90	42.00	6.90	5.00	11.40	72.10	56.40
Yk-21	İri Taneli Biyotit Muskovit Granit	6.30	6.30	15.30	3.10	15.60	344.00	1.00	45.00	0.98	21.40	3.40	2.00	4.50	98.00	34.30
Yk-23	İri Taneli Biyotit Muskovit Granit	5.20	4.70	16.00	3.40	16.50	367.00	1.40	52.00	0.76	22.50	4.10	25.00	11.00	88.40	43.50
Yk-25	İri Taneli Biyotit Muskovit Granit	5.60	5.20	16.70	3.70	17.40	379.00	1.50	48.00	1.30	25.20	4.60	22.50	11.10	87.90	42.50
Yk-29	İri Taneli Biyotit Muskovit Granit	5.10	4.70	18.00	2.87	17.20	369.00	1.20	57.00	1.10	26.10	4.10	25.10	8.40	101.20	44.50
Yk-32	İri Taneli Biyotit Muskovit Granit	5.50	4.12	15.32	3.51	16.77	367.00	1.30	56.00	0.87	21.60	3.10	23.10	3.50	95.40	49.50
Yk-33	İri Taneli Biyotit Muskovit Granit	5.12	4.40	14.66	3.10	15.87	387.00	1.50	58.00	0.81	25.50	3.20	24.00	4.50	76.00	40.50
Yk-35	İri Taneli Biyotit Muskovit Granit	4.78	5.00	13.60	3.72	18.00	366.00	1.10	55.60	0.70	24.10	3.40	25.80	5.60	84.20	39.80
Y27-01	İnce Taneli Biyotit Muskovit Granit	1.60	6.80	14.20	2.80	11.90	232.00	1.00	20.50	2.50	29.50	2.90	5.00	5.30	54.30	28.50
Y31-01	İnce Taneli Biyotit Muskovit Granit	3.10	5.70	11.40	1.50	6.30	328.90	1.00	32.20	1.40	13.70	1.40	5.00	3.40	26.50	11.20
Y33-01	İnce Taneli Biyotit Muskovit Granit	0.70	3.50	13.70	2.70	7.70	230.00	1.00	23.60	1.20	29.30	12.30	5.00	5.80	80.10	21.90

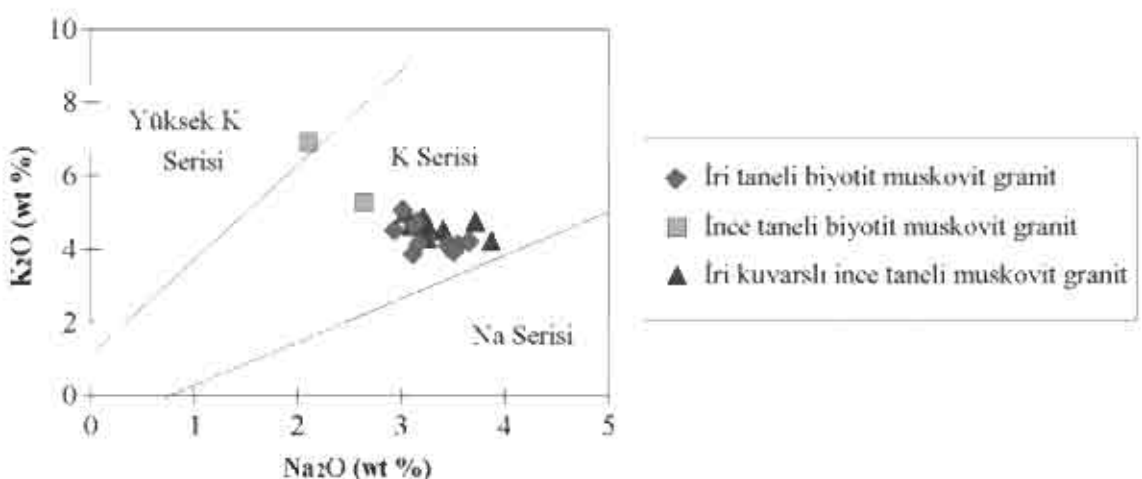
**Çizelge 3.** Kayaç örneklerine ait nadir toprak elementleri (NTE) analiz sonuçları (ppm)  
**Table 3.** Rare earth element (REE) analyses from rock samples in study area (ppm)

Örnek No	Kayaç Adı	La ppm	Ce ppm	Pr ppm	Nd ppm	Sm ppm	Eu ppm	Gd ppm	Tb ppm	Dy ppm	Ho ppm	Er ppm	Tm ppm	Yb ppm	Lu ppm
Yk-2	İri Kuvarslı İnce Taneli Muskovit Granit	16.50	51.30	3.20	12.30	4.10	0.69	2.44	1.02	3.40	0.89	2.30	0.50	4.66	0.31
Yk-3	İri Kuvarslı İnce Taneli Muskovit Granit	18.55	52.10	2.00	12.10	4.20	0.75	2.70	0.91	3.10	0.98	3.50	0.45	4.20	0.33
Yk-5	İri Kuvarslı İnce Taneli Muskovit Granit	18.10	48.90	2.40	13.40	4.10	0.98	3.10	0.78	3.90	0.92	4.10	0.41	3.87	0.32
Yk-6	İri Kuvarslı İnce Taneli Muskovit Granit	19.76	45.00	2.50	14.32	3.60	0.87	2.98	0.91	3.40	0.89	2.50	0.58	3.90	0.43
Yk-7	İri Kuvarslı İnce Taneli Muskovit Granit	21.20	47.00	3.10	11.40	3.54	0.76	3.18	0.65	3.30	0.67	3.20	0.47	4.20	0.53
Yk-8	İri Kuvarslı İnce Taneli Muskovit Granit	25.10	49.00	3.20	10.22	3.20	0.91	3.65	0.78	3.80	0.91	3.10	0.44	4.12	0.55
Yk-62	İri Kuvarslı İnce Taneli Muskovit Granit	20.60	51.00	2.50	12.65	3.12	0.98	3.43	0.79	2.80	0.88	3.50	0.52	3.67	0.58
Yk-32	İri Kuvarslı İnce Taneli Muskovit Granit	23.00	47.00	3.10	13.50	3.16	1.10	3.56	0.87	2.90	0.90	2.98	0.64	4.53	0.48
Y24-01	İn Taneli Biyotit Muskovit Granit	14.50	32.40	3.07	11.60	4.00	0.16	5.38	1.19	8.37	1.65	5.43	0.91	6.61	1.03
Y34-01	İn Taneli Biyotit Muskovit Granit	23.00	44.20	4.24	14.90	3.00	0.34	1.87	0.38	2.33	0.50	1.53	0.26	2.11	0.30
Y35-01	İn Taneli Biyotit Muskovit Granit	29.10	58.00	6.30	22.50	5.60	0.10	5.60	1.21	8.04	1.59	5.11	0.84	6.37	0.98
Yk-21	İri Taneli Biyotit Muskovit Granit	18.90	38.40	3.20	15.40	4.80	1.30	3.20	0.61	2.44	0.65	1.60	0.76	1.44	0.87
Yk-23	İri Taneli Biyotit Muskovit Granit	19.70	40.10	3.40	16.30	4.30	1.12	3.10	0.52	3.44	0.87	1.43	0.72	1.65	0.76
Yk-25	İri Taneli Biyotit Muskovit Granit	19.50	38.80	3.10	15.22	3.87	1.10	3.70	0.57	3.54	0.51	1.23	0.45	1.39	0.91
Yk-29	İri Taneli Biyotit Muskovit Granit	21.30	44.30	3.30	17.20	4.65	1.03	3.10	0.47	3.12	0.57	1.54	0.51	1.26	0.74
Yk-32	İri Taneli Biyotit Muskovit Granit	18.66	41.30	3.12	15.40	4.61	0.92	4.01	0.58	3.87	0.55	1.64	0.65	1.43	0.87
Yk-33	İri Taneli Biyotit Muskovit Granit	20.30	38.70	3.50	15.80	3.76	0.98	4.06	0.44	3.87	0.51	1.42	0.43	1.33	0.65
Yk-35	İri Taneli Biyotit Muskovit Granit	19.30	32.40	3.54	15.93	3.87	1.01	3.54	0.54	4.10	0.80	1.10	0.47	1.90	0.74
Y27-01	İnce Taneli Biyotit Muskovit Granit	12.30	24.20	2.65	9.90	2.40	0.20	2.68	0.53	3.97	0.85	2.78	0.43	3.51	0.55
Y31-01	İnce Taneli Biyotit Muskovit Granit	4.20	10.00	0.84	3.50	0.70	0.24	0.99	0.22	1.30	0.33	0.97	0.18	1.32	0.19
Y33-01	İnce Taneli Biyotit Muskovit Granit	20.10	38.50	4.04	12.80	3.30	0.19	3.03	0.48	2.92	0.62	1.97	0.32	2.44	0.33

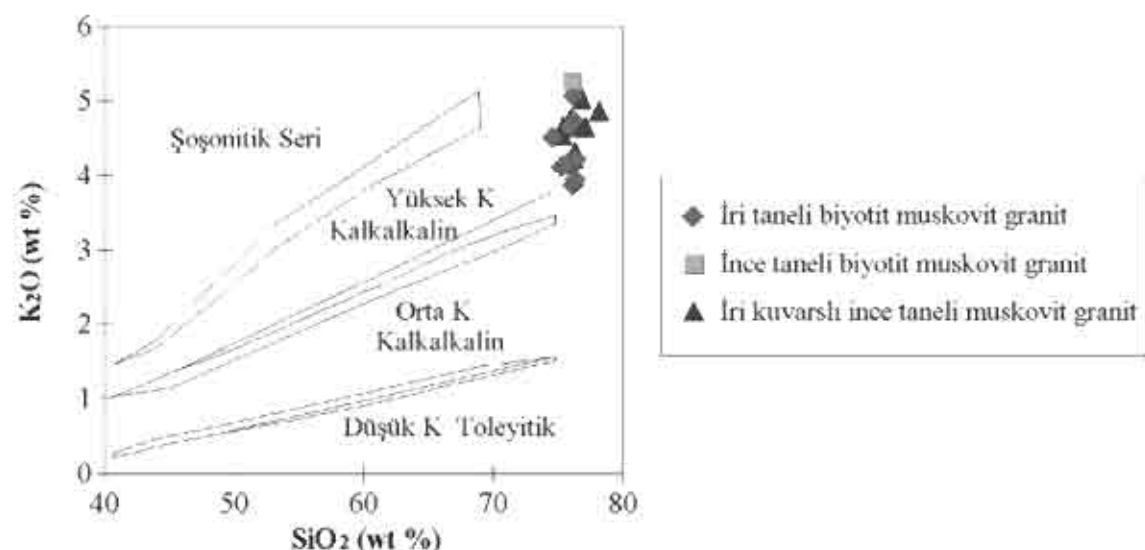
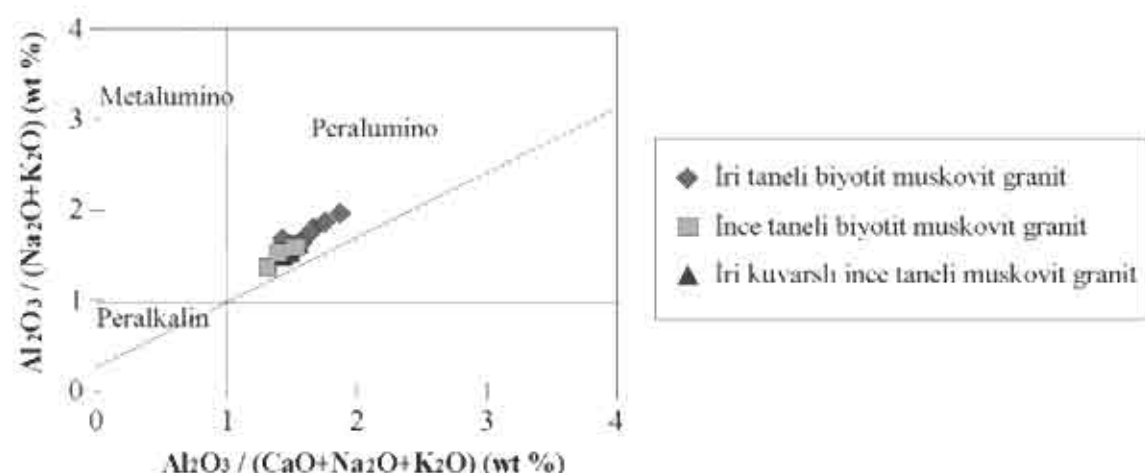


**Şekil 10. a)**  $\text{SiO}_2$  ye karşı toplam alkali diyagramı (Irvine ve Baragar, 1971).  
**Şekil 10. b)** AFM Diyagramı (Irvine ve Baragar, 1971).

Kalkalkalin yönelikli olan bu lökogranitler,  $\text{Na}_2\text{O}$ ya karşı  $\text{K}_2\text{O}$  değişim diyagramında (Middlemost, 1975) K serisinde (Şekil 11) ve  $\text{SiO}_2$ ye karşı  $\text{K}_2\text{O}$  değişim diyagramında da (Le Maitre vd., 1989) Yüksek K Kalkalkalin serisinde yer almaktadır (Şekil 12). Aluminyum doyuşunu açısından incelendiğinde çalışma alanı granitlerinin tamamının peralumino karakterinde oldukları görülmektedir (Şekil 13).



**Şekil 11.**  $\text{Na}_2\text{O}$ ya karşı  $\text{K}_2\text{O}$  değişim diyagramı (Middlemost, 1975).

Şekil 12.  $\text{SiO}_2$  ye karşı  $\text{K}_2\text{O}$  değişim diyagramı (Le Maitre vd., 1989).Figure 12. Diagram of  $\text{SiO}_2$  versus  $\text{K}_2\text{O}$  (Le Maitre vd., 1989).

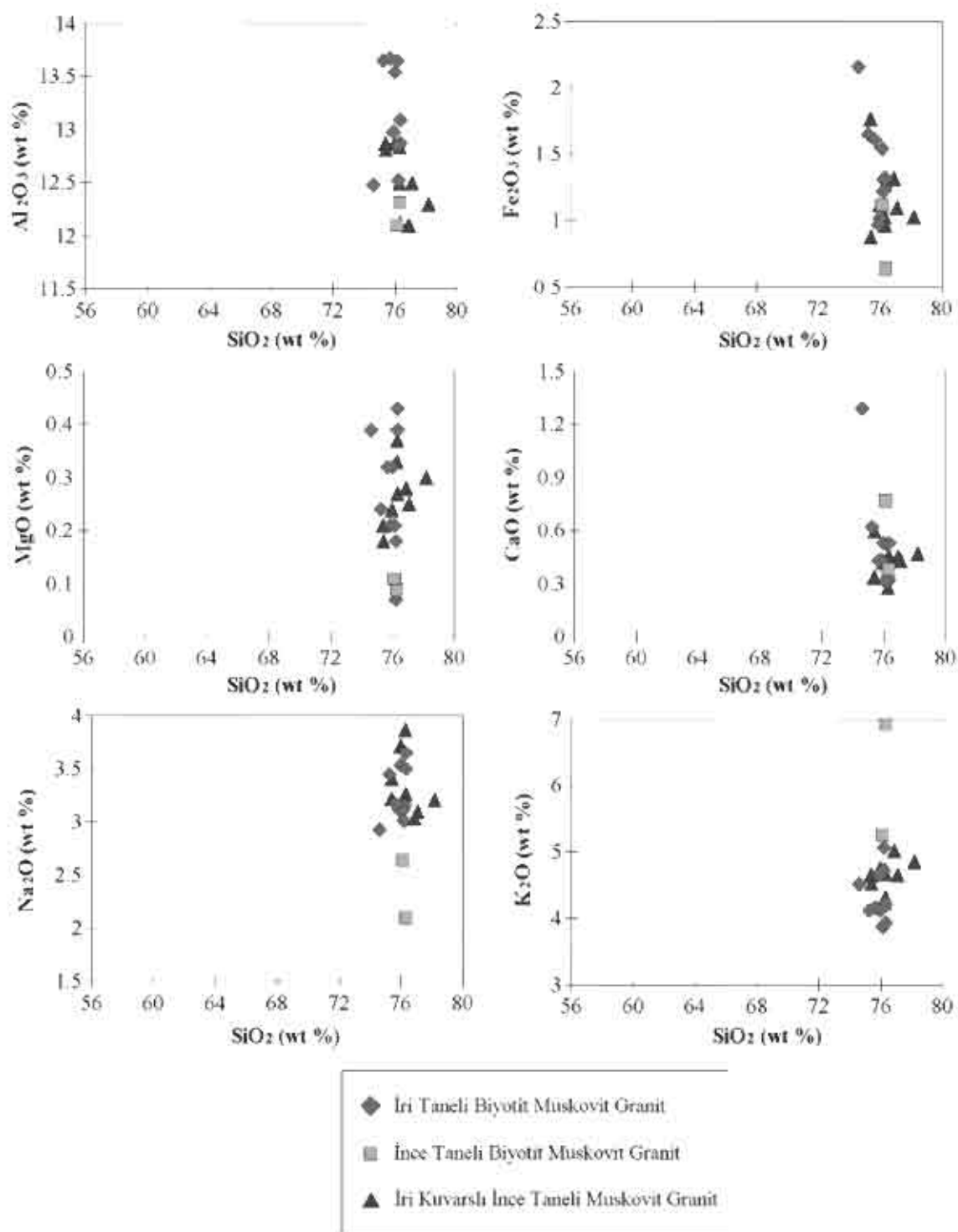
Şekil 13. Aluminyum doygunluk diyagramı (Shand, 1947).

Figure 13. Diagram of Aluminum saturation (Shand, 1947).

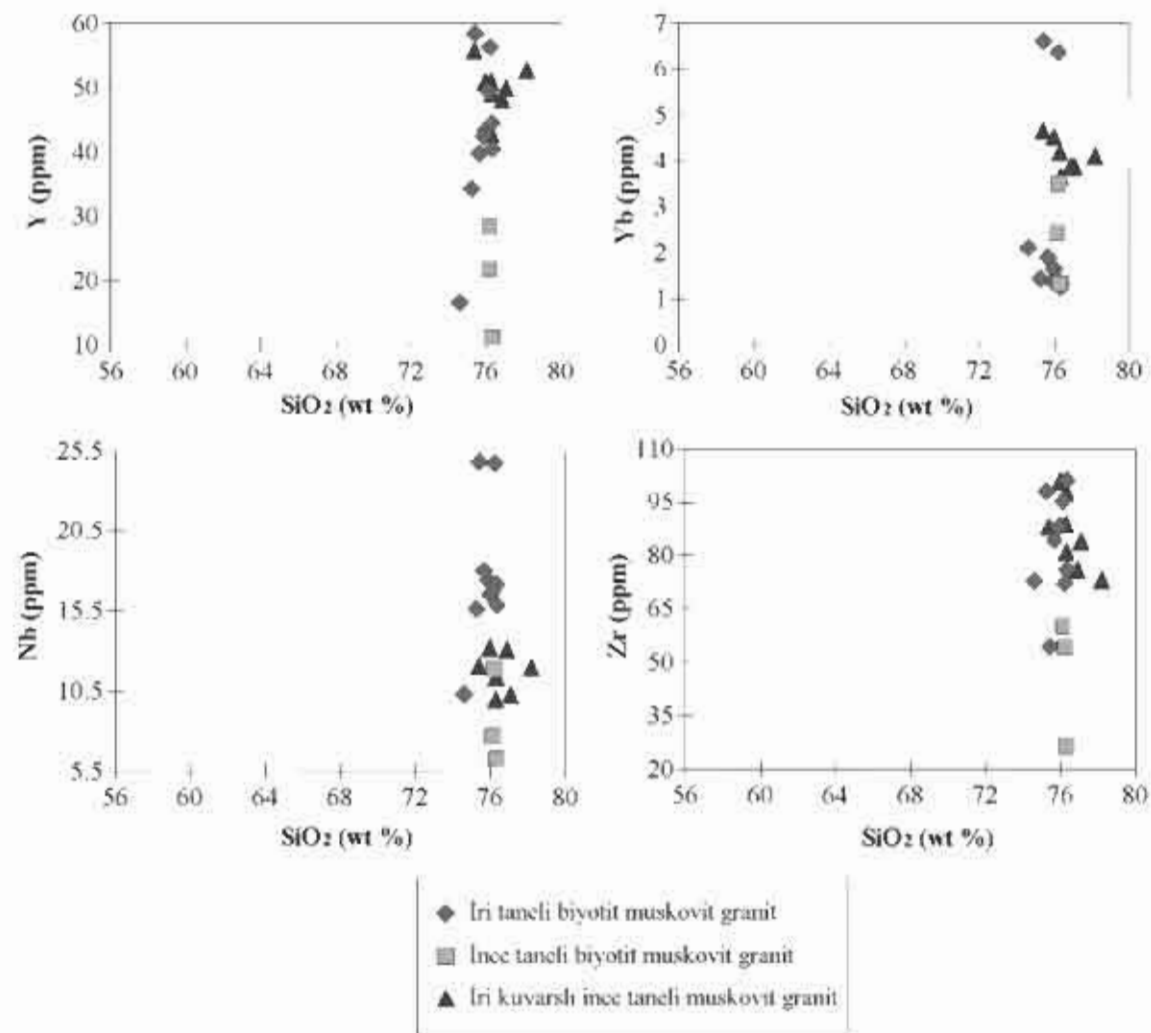
Harker diyagramları incelediğinde, yaklaşık düşey bir ilişki sergilediği görülmektedir. Buna göre;  $\text{SiO}_2$  ye karşı  $\text{Al}$ ,  $\text{Fe}$  ve  $\text{Ca}$  elementlerinin aşağıdan yukarıya,  $\text{Na}$  ve  $\text{K}$  elementlerinin ise yukarıdan aşağıya doğru devam eden az da olsa bir kristalizasyon-diferansiyasyon ilişkisinden söz edilebilir (Şekil 14).  $\text{SiO}_2$  nin bu tür davranışları daha çok kita kabuğunun kısmi ergimesi ile oluşmuş S-tipi granitlerde görülebilmektedir (Sylvester, 1988 ve Suarez vd., 1990). Bu durumda; kayaçların

göstermiş olduğu petrografik ilişkileri de göz önüne alarak sırasıyla İri taneli biyotit muskovit granitler, ince taneli biyotit muskovit granitler ve İri kuvarslı ince taneli muskovit granitlerin oluşu söylenebilir. Aynı ilişkiye bağlı olarak da  $\text{SiO}_2$  ye karşı  $\text{Y}$ ,  $\text{Yb}$ ,  $\text{Nb}$  ve  $\text{Zr}$  elementlerinin de benzer davranışlar sundukları görülmektedir (Şekil 15).

Kalskalkalın karakterli Yozgat Batoliti kuzey



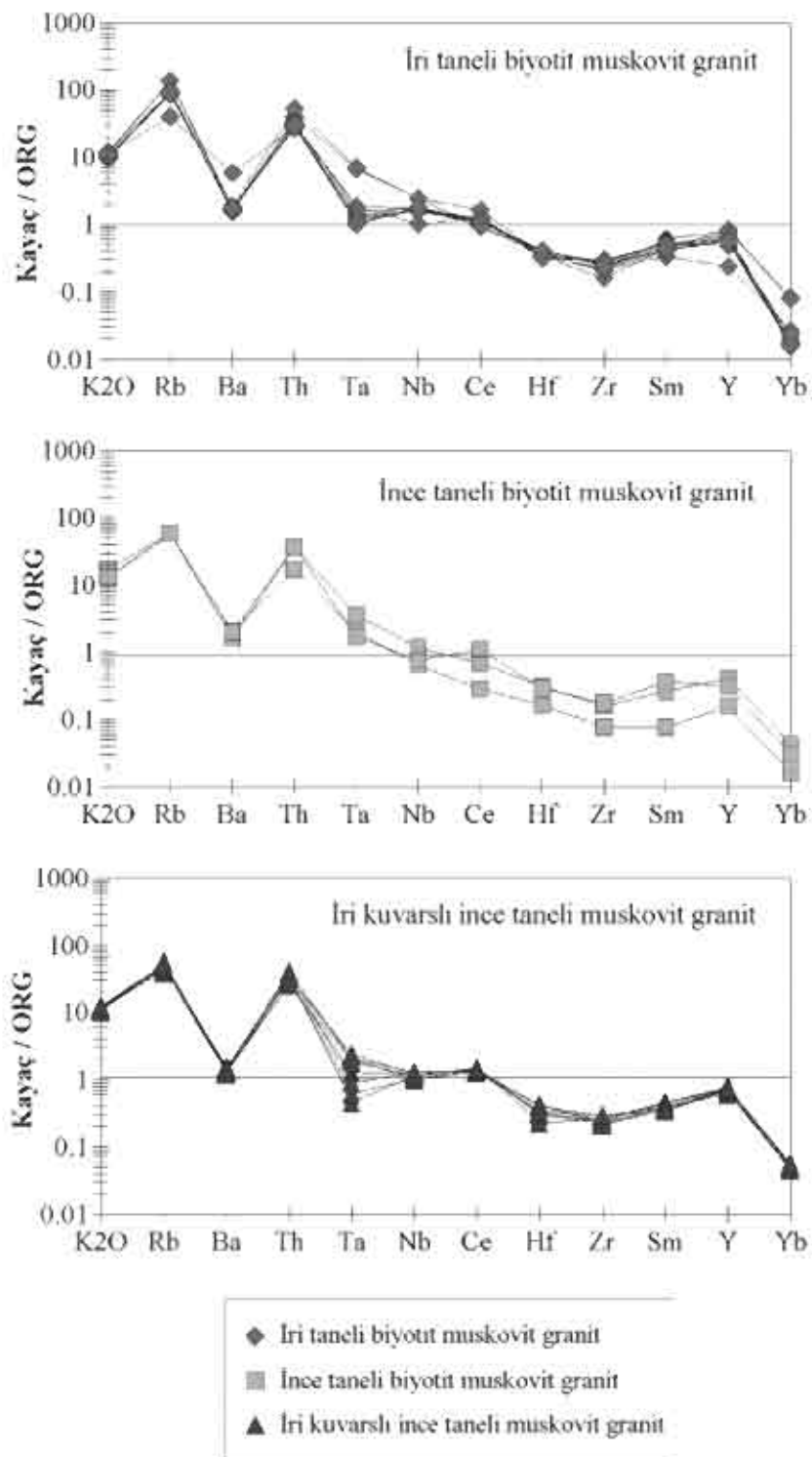
Şekil 14.  $\text{SiO}_2$ 'ye karşı Al, Fe, Mg, Ca, Na ve K elementlerinin Harker değişim diyagramları.  
Figure 14. Harker variation diagrams of  $\text{SiO}_2$  versus Al, Fe, Mg, Ca, Na and K



**Şekil 15.**  $\text{SiO}_2$ 'ye karşı Y, Yb, Nb ve Zr elementlerinin Harker değişim diyagramları.  
**Figure 15.** Harker variation diagrams of  $\text{SiO}_2$  versus Y, Yb, Nb and Zr.

kesimi lökogranitleri, Okyanus Ortası Sırtı Granitlerine (ORG) (Pearce vd., 1984) göre normalize edilmiş örümcek (spider) diyagramlarında LIL elementler açısından zenginleşme, HFS elementler açısından ise kısmen fakirleşme göstermektedir (Şekil 16). Yozgat Batolitinin Kuzey bölümündeki granitlerin sergilemiş oldukları mineralojik bileşimlerine bakıldığında granat ve iri kuvars kristallerinin yer almazı ve jeokimyasal olarak LIL elementler açısından zenginlik göstermesi

kaynak magmanın kitä kabuğundan etkilendiğini ve böylece bu elementlerin zenginleşmesine yol açmış olabileceğini göstermektedir (Barbarin, 1990 ve Foster vd., 2001). Baryum'un (Ba) diğer LIL elementlerine göre fakirleşme göstermesi, bu granitler içerisinde plajiyoklazın az, alkali feldispatların ise daha fazla kristalleşmesinden kaynaklanabilmektedir (Sylvester, 1988 ve Suarez vd., 1990).



**Şekil 16.** Eser elementlerin okyanus ortası sırtı granitlerine (ORG) (Pearce vd., 1984) göre normalize edilmiş örümcük (spider) diyagramları.

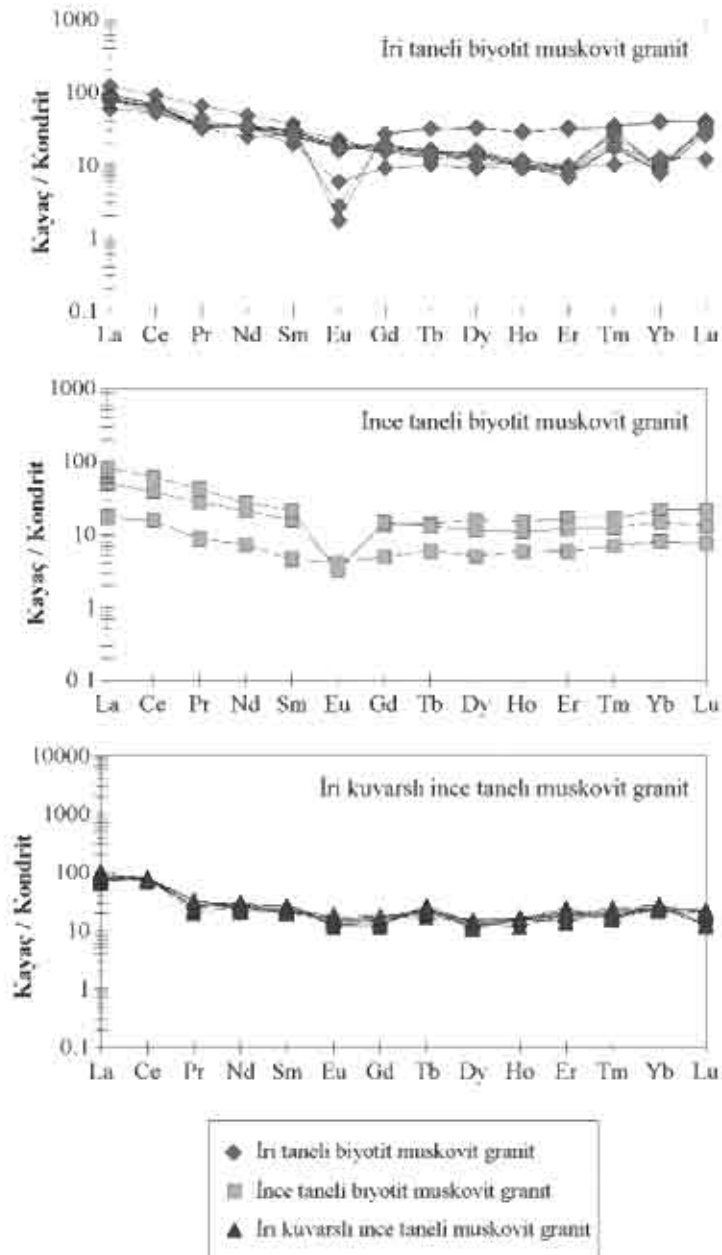
*Figure 16. Spider diagrams of ORG normalized of trace elements of rock units (Pearce et al., 1984)*

Kondritlere (Evensen vd., 1978) göre normalize edilmiş örümcek diyagramlarında ise, genel olarak düz bir çizgi göstemesinin yanında kısmen Hafif Nadir Toprak Elementleri (LREE), Ağır Nadir Toprak Elementlerine (HREE) göre zenginlik sergilemektedirler (Şekil 17). Hafif nadir toprak elementlerinin ağır nadir toprak elementlerine göre zenginlik göstermesi bu magma'da kabuksal malzemenin etkinliğinin fazla olmasından kaynaklanmaktadır.

Levha tektoniği açısından irdelendiğinde, Yozgat Batoliti'nin kuzeyindeki lökogranitlerin ilk olarak  $\text{SiO}_2$ 'ye karşı Y ve Nb değişim diyagramlarında (Pearce

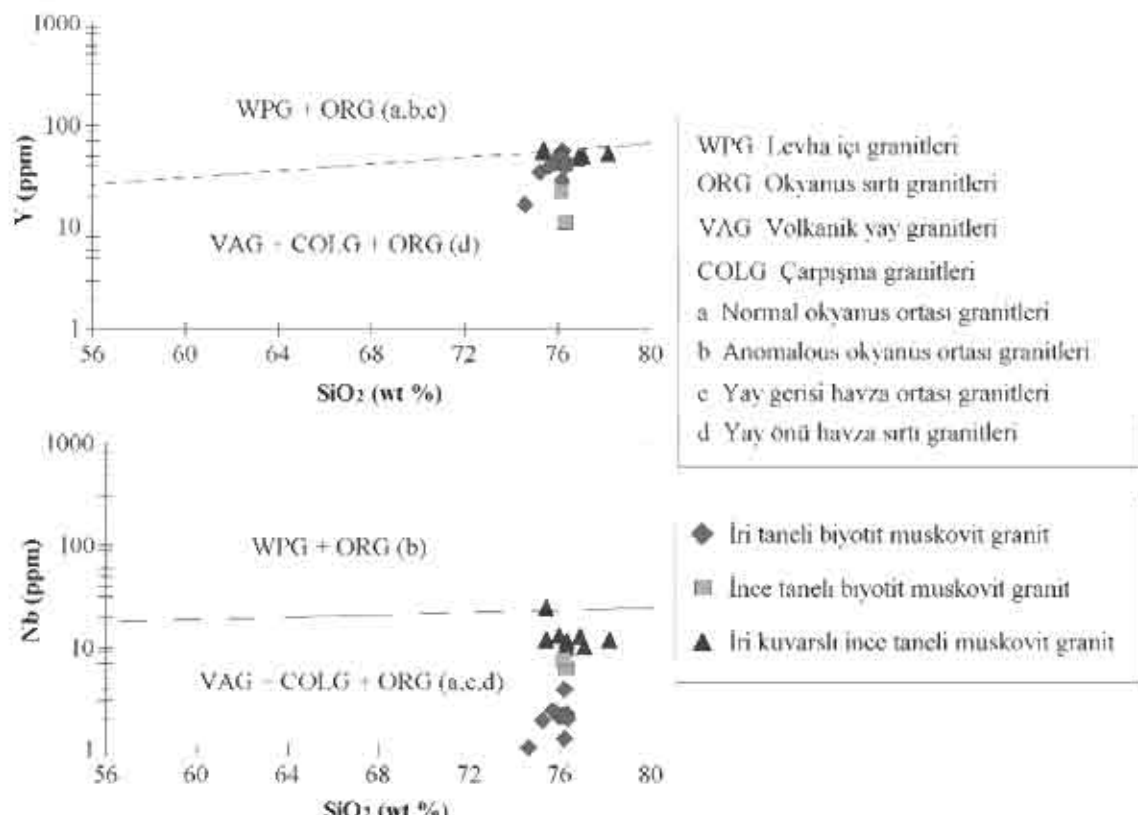
vd., 1984) VAG, COLG ve ORG alanlarına (Şekil 18),  $\text{SiO}_2$ 'ye karşı Rb değişim diyagramında (Pearce vd., 1984) da syn-COLG alanına düşüğü görülmektedir (Şekil 19).

Nb-Y ve Ta-Yb ayırtman diyagramlarına (Pearce vd., 1984) bakıldığından ise söz konusu granitlerin syn-COLG ve VAG alanlarına düşükleri (Şekil 20), bunların syn-COLG mu yoksa VAG mı olduğunu anlayabilmek için de Rb-(Y+Nb) ve Rb-(Yb+Ta) ayırtman diyagramlarına (Pearce vd., 1984) bakıldığından bunların çoğunlukla syn-COLG ve WPG aralığına düşüğü görülmektedir (Şekil 21).

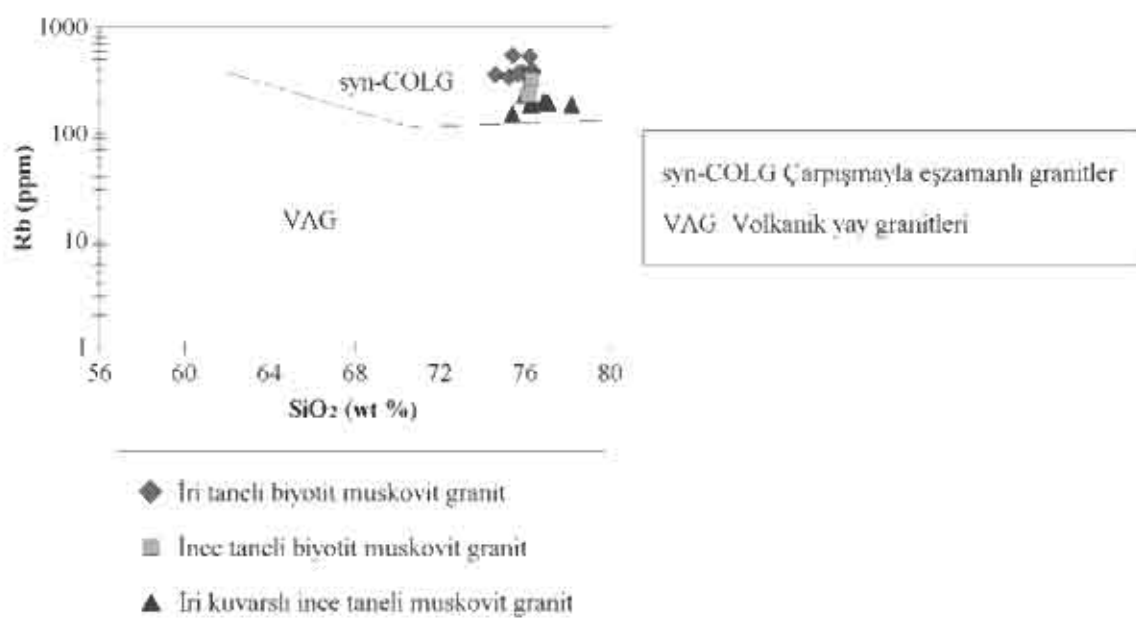


Şekil 17. Nadir toprak elementlerinin Kondritlere (Evensen vd., 1978) göre normalize edilmiş örümcek (spider) diyagramları.

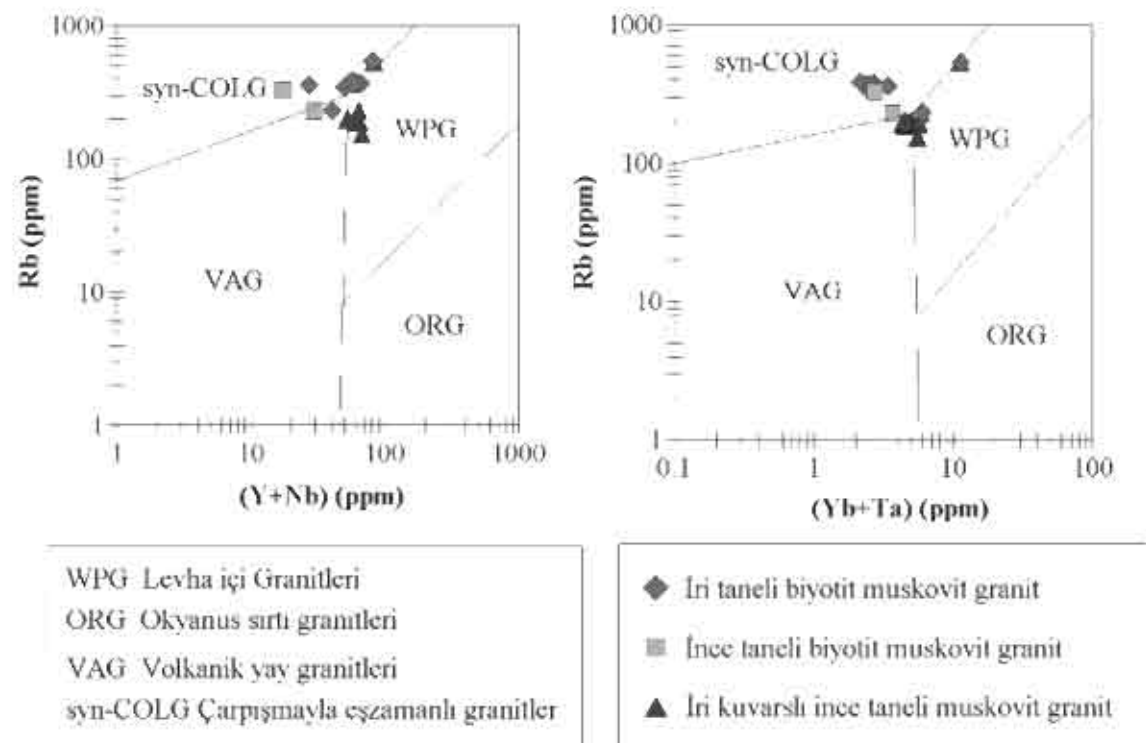
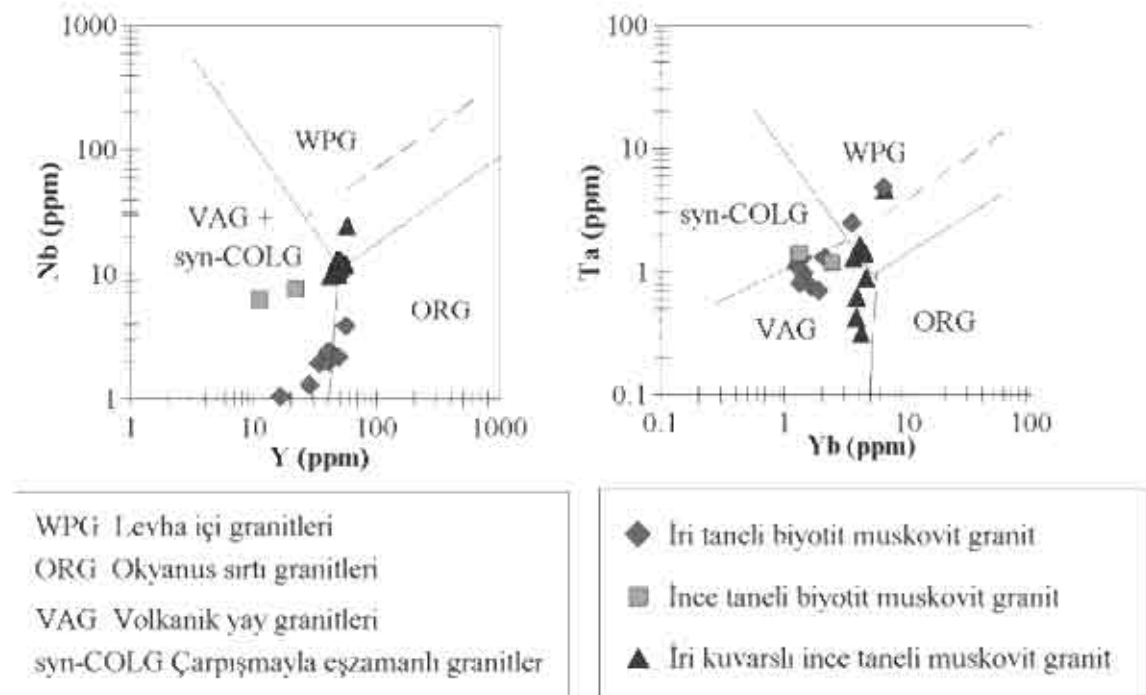
Figure 17. Spider diagrams of Chondrites normalized REE patterns of rock units (Evensen et al., 1978).



Şekil 18.  $\text{SiO}_2$ 'ye karşı Y ve Nb değişim diyagramları (Pearce vd., 1984).  
 Figure 18. Variation diagrams of  $\text{SiO}_2$  versus Y and Nb (Pearce et al., 1984).



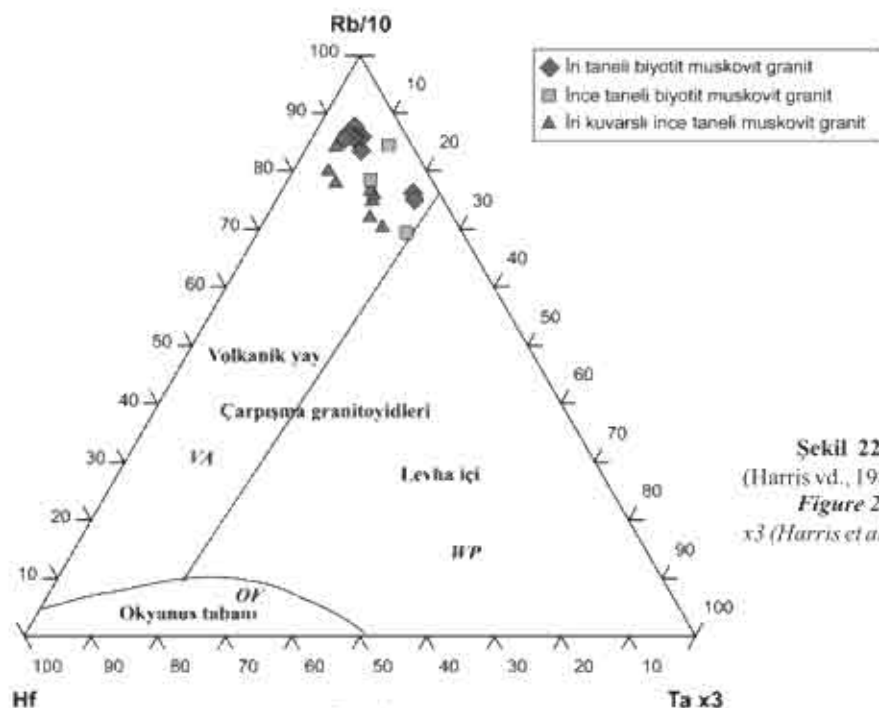
Şekil 19.  $\text{SiO}_2$ 'ye karşı Rb değişim diyagramı (Pearce vd., 1984).  
 Figure 19. Variation diagram of  $\text{SiO}_2$  versus Rb (Pearce et al., 1984).



Yukarıda anlatılanlara ek olarak Harris vd. (1986)'nın tektonik ayırtman diyagramlarına bakıldığından da, inceleme alanı granitlerinin Rb/10, Hf, Ta x3 üçgen diyagramında (Harris vd., 1986) çarpışma granitoyidleri alanına düştükleri görülmekte (Şekil 22), bunların çarpışmayla eş zamanlı (syn-COLG) mi yoksa çarpışma sonrası (post-COLG) mı olduklarının anlaşılması için çizilen Rb/30, Hf, Ta x3 üçgen

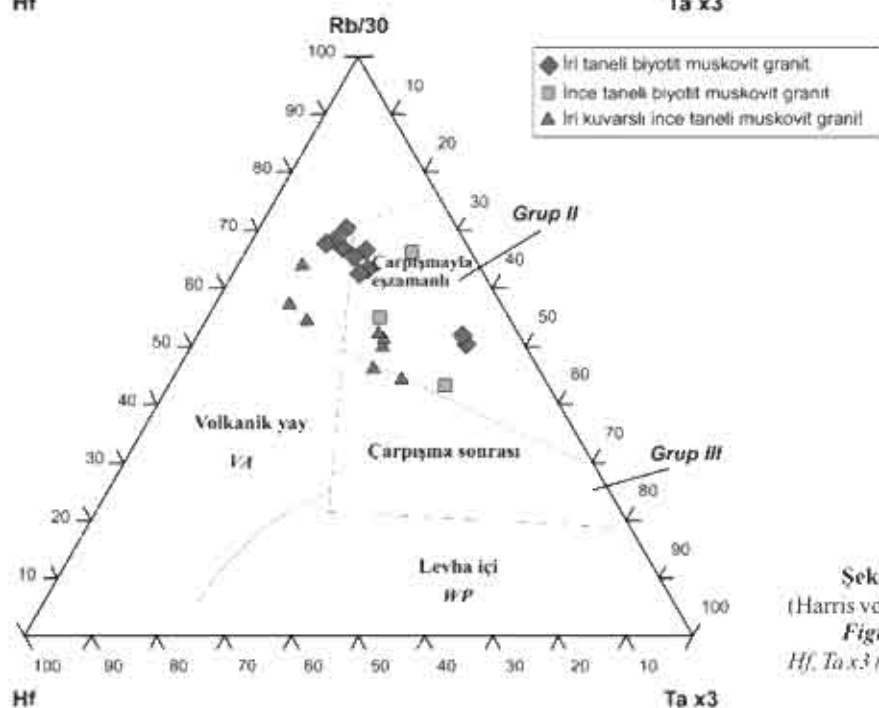
diyagramı (Harris vd., 1986) incelendiğinde syn-COLG aralığına düştükleri görülmektedir (Şekil 23).

Sonuç olarak; Yozgat Batoliti'nin kuzeyindeki lökogranitlerin tektonik ayırtman diyagramlarında çoğunlukla çarpışmayla eş zamanlı granitoyid (syn-COLG) alanlarına düştükleri görülmektedir.



Şekil 22. Rb/10, Hf, Ta x3 üçgen diyagramı (Harris vd., 1986).

Figure 22. Triangular diagram of Rb/10, Hf, Ta x3 (Harris et al., 1986).



Şekil 23. Rb/30, Hf, Ta x3 üçgen diyagramı (Harris vd., 1986).

Figure 23. Triangular diagram of Rb/30, Hf, Ta x3 (Harris et al., 1986).

#### 4. SONUCLAR

Orta Anadolu Kristalen Karmaşığı içerisindeki en büyük intruzif kütleyi oluşturan Yozgat Batoliti, farklı bileşim ve karakterdeki granitoyid kayaçlarından oluşmaktadır. Bu çalışmada Yozgat Batoliti'nin kuzey bölümünde yüzlek veren lökokrat granitoyidinin jeoloji, petrografi ve petrolojisi incelenmiştir.

Yozgat Batoliti'nin kuzey kesimi başlica açık ve pembe renkli granitlerden oluşmekte olup, tipik olarak Sarıhacılı köyü çevresinde ve Divanlı köyünün kuzey bölümünde yüzlek vermektedir. Bu açık renkli granitler iri, ince ve yer yer de farklı tane boyutu göstermesiyle fanneritik ve porfiro fanneritik doku özelliği sergilemektedirler.

Yozgat Batoliti kuzeyindeki lökogranitler kendi içerisinde, gösterdikleri dokusal özellikleri ve içermiş oldukları biyotit, muskovit ve kuvars oranına göre 3 alt birime ayılmaktadır. Bunlar iri taneli biyotit muskovit granit, ince taneli biyotit muskovit granit ve iri kuvaraklı ince taneli muskovit granit şeklinde tanımlanmış ve adlandırılmıştır. Bütün bu alt birimler kendi içerisinde tedrici dokanak ilişkisi göstermekte ve aplitik dayak şeklinde ince taneli muskovit alkali feldispat granitler tarafından kesilmektedirler.

Iri kristalin biyotit muskovit granitler nispeten iri taneli ve taze görünümüldür. Ince taneli biyont muskovit granitlerde biyotitler ince taneli olup, genelde mineral kümelenmeleri şeklinde kayacın içerisinde yer almaktadır. Iri kuvaraklı ince taneli muskovit granitler içerisinde ise oldukça iri taneli gözlü kuvarslar gözlenmektedir.

Yozgat Batolitindeki açık renkli granitler mafik mikrogranular anklayalar içermemektedirler.

Jeokimyasal analiz sonuçlarına göre; Yozgat Batoliti'nin kuzey bölümündeki lökogranitler, subalkalın karakterli, kalkalkalın yönelikli ve yüksek K serisinde yer alan peraluminous S-tipi granitlerdir.

Yozgat Batoliti lökogranitleri, Harker diyagramlarında yaklaşık düşey bir ilişki göstermektedir. Buna göre;  $\text{SiO}_2$ 'ye karşı Al, Fe, Mg ve Ca elementleri aşağıdan yukarıya, Na ve K elementleri ise yukarıdan aşağıya doğru devam eden bir ilişki göstermektedir.

Kalkalkalın karakterli Yozgat Batoliti lökogranitleri ORG'a göre normalize edilmiş örümcük

(spider) diyagramlarında LIL elementler açısından zenginleşme, HFS elementler açısından ise kısmen fakirleşme göstermektedir. Kondritlere göre normalize edilmiş örümcük diyagramlarında ise genel olarak düz bir çizgi göstermesinin yanında kısmen LREE'in HREE'e göre zenginlik sergilemektedirler.

Levha tektoniği açısından irdelendiğinde, Yozgat Batoliti'nin kuzeyindeki lökogranitlerin tektonik ayırtman diyagramlarında çoğunlukla çarpışmayıla eş zamanlı granitoyid (syn-COLG) alanlarına düşüğünü görülmektedir.

#### KAYNAKLAR

- Akçe, M.A., 2003. Yozgat Batolitinin Kuzey Bölümünün Jeoloji ve Petrolojisi. Ankara Üniversitesi Fen Bilimleri Enstitüsü, Ankara, Yüksek Lisans Tezi, 117 s., (yayınlanmamış)
- Akçe, M.A. ve Kadioğlu, Y.K. 2003. Yozgat Batolitindeki Kabuk Kökenli Lökogranitlerin Jeoloji ve Petrolojisi, S. Demirel Üni., Müh.-Mim. Fak., 20. Yıl Jeol. Semp., Bildiri Özleri, Isparta, s. 140.
- Akıman, O., Erler, A., Göncüoğlu, M. C., Güleç, N., Geven, A., Türel, T.K. and Kadioğlu, Y.K., 1993. Geochemical characteristics of granitoids along the western margin of the Central Anatolian Crystalline Complex and their tectonic implications: Geol. J., 28, 371-382.
- Aydın, N.S., Göncüoğlu, M.C. and Erler, A., 1998. Latest cretaceous magmatism in the Central Anatolian Crystalline Complex: review of field, petrographic and geochemical features. Turkish Journal of Earth Sciences, 7, 259-268.
- Barbarin, B., 1990. Granitoids: main petrogenetic classifications in relation to origin and tectonic setting. Geol. Journal, 25, 227-238.
- Boztuğ, D., 1995. Kırşehir bölgesindeki Yozgat batoliti doğu kesiminin (Sorgun güneyi) petrografisi, ana element jeokimyası ve petrojenezi. İstanbul Üniversitesi, Yerbilimleri, 9, 1-2; 1-20.
- Boztuğ, D., 1998. Post-Collisional Central Anatolian Alkaline Plutonism, Turkey. Turkish Journal of Earth Sciences, 145-165.
- Büyükkönlü, G., 1979. Yozgat yöresi plutonit ve volkanitlerinin petrolojisi. A.U.F.F. Jeoloji Müh. Böl. (Yayınlanmamış), Ankara.
- Dalkılıç, B., 1985. Geology of the Sarıhacılı-Divanlı-Azizli region (Yozgat, Turkey): Unpubl. M.S. thesis, Middle East Tech. Univ., 81 p., Ankara.
- Ekici, T., 1997. Yozgat Batoliti Yozgat güneyi kesiminin

- petrolojisi. C.Ü. Fen Bilimleri Enstitüsü Yüksek Lisans Tezi, 75 s. (yayınlanmamış).
- Ekici T., ve Boztuğ, D., 1997. Anatolid-Pontid Çarpışma Sisteminin Pasif Kenarında Yer Alan Yozgat Batolitinde Syn-COLG ve Post-COLG Granitoyid Birlikteği. Yerbilimleri, 30, s. 519-538.
- Erdoğan, B., Akay, E. and Uğur, M.S., 1996. Geology of the Yozgat Region and Evolution of the Collisional Cankırı Basin. International Geology Review, Vol. 38; p. 788-806.
- Erler, A., Akiman, O., Unan, C., Dalkılıç, B., Geven, A., ve Önen, P., 1991. Kaman (Kırşehir) ve Yozgat yörelerinde Kırşehir Masifi magmatik kayalarının petrolojisi ve jeokimyası. Doğa-Tr. of Engineering and Environmental Sciences, 15, s. 76-100.
- Erler, A. ve Bayhan, H., 1995. Orta Anadolu Granitoid'lerinin genel değerlendirilmesi ve sorunları. Yerbilimleri, 17, 49-67.
- Erler, A. and Göncüoğlu M.C., 1996. Geologic and Tectonic Setting of the Yozgat Batholith, Northern Central Anatolian Crystalline Complex, Turkey. International Geology Review, Vol. 38, p. 714-726.
- Foster, D.A., Schafer, C., Fanning, C.M. and Hyndman, D.W., 2001. Relationships between crustal partial melting, plutonism, orogeny, and exhumation: Idaho-Bitterroot batholith. Tectonophysics 342, 313-350.
- Gençalioğlu-Kuşcu, G., 1999. Orta Anadolu Kristalen Kompleksi'ndeki Akçakışla Graniti (Yozgat) ve Yozgat Batoliti Granitoyidlerinin Jeokimyasal ve Petrojenetik Karşılaştırması. 52. Türkiye Jeoloji Kurultayı Bildiriler Kitabı, s. 247-254. Ankara.
- Göncüoğlu, M.C., Toprak, V., Kuşcu I., Erler, A., and Olgun, E., 1991. Geology of the western part of the Central Anatolian Massif, Part 1: Southern Section: Unpubl. Report No. 2909, Turkish Petroleum Company (in Turkish).
- Göncüoğlu, M.C., Erler, A., Toprak, V., Yalınız, K., Olgun, E., and Rojay, B., 1992. Geology of the western part of the Central Anatolian Massif, Part 2: Central Section: Unpubl. Report No. 3155, Turkish Petroleum Company (in Turkish).
- Göncüoğlu, M.C., Erler, A., Toprak, V., Olgun, E., Yalınız, K., Kuşcu, İ., Köksal, S., and Dirik, K., 1993. Geology of the central part of the Central Anatolian Massif, Part 3: Geological evolution of the Central Kızılırmak Tertiary Basin: Unpubl. Report No. 3313, Turkish Petroleum Company (in Turkish).
- Güleç, N., 1994. Rb-Sr isotope data from the Ağaçören granitoid (East of Tuz Gölü): geochronological and genetical implications. Turkish Journal of Earth Sciences, 3, 39-43.
- Güleç, N., Toprak, V., Kadıoğlu, Y.K. and Barreiro, B., 1996. Anatomy of a gabbro body and its bearing on the origin of mafic enclaves in the Cretaceous Ağaçören granitoid (central Turkey). Israel Journal of Earth Sciences, 45; 169-192.
- Güleç, N. and Kadıoğlu, Y.K., 1998. Relative involvement of mantle and crustal components in the Ağaçören granitoid (central Anatolia - Turkey): estimates from trace element and Sr-isotope data. Chemie der Erde, 58, 23-37.
- Harris, N.B.W., Pearce, J.A. and Tindle, A.G., 1986. Geochemical characteristics of collision-zone magmatism. In: Coward M.P. Reis A.C. (eds), Collision tectonics, Spec. Publ., Geol. Soc., 19, 67-81.
- Irvine, T. N. and Baragar, W. R. A., 1971. A Guide to the chemical classification of the common volcanic rocks. Can. J. Earth Sci., v.8, 523-548.
- Kadıoğlu, Y.K. and Güleç, N., 1999. Types and genesis of the enclaves in central Anatolian granitoids. Geological Journal. Geol. J., 34, 243-256, Ankara.
- Kadıoğlu, Y.K., Dilek, Y., Güleç, N., and Foland, K.A., 2003. Tectonomagmatic evolution of bimodal plutons in the Central Anatolian Complex, Turkey. The Journal of Geology, 111; 671-690.
- Ketin, I., 1955. Yozgat bölgesinin jeoloji ve Orta Anadolu Masifi'nin tektonik durumu. T.J.K Bülteni, s. 6, 1-28.
- Le Maitre, R.W., Bateman, P., Dudek, A., Keller, J., Lameyre, J., Le Bas, M.J., Sabine, P.A., Schmid, R., Sorensen, H., Streckeisen, A., Woolley, A.R. and Zanettin, B., 1989. A classification of igneous rocks and glossary of terms. Blackwell, Oxford.
- Maniar, P.D. and Piccoli, P.M., 1989. Tectonic discrimination of granitoids: Geol. Soc. of Amer. Bull., v.101, 635-643.
- Middlemost, E.A.K., 1975. The basalt clan. Earth Sci. Rev., 11, 337-364.
- Pearce, J.A., Harris, N.B.W. and Tindle, A.G., 1984. Trace element discrimination diagrams for the tectonic interpretation of granitic rocks: Jour. Petrol., v. 25, 956-983.
- Shand, S.J., 1947. Eruptive Rocks, John Wiley, New York.

- Suarez, M., Naranjo, J.A. and Puig, A., 1990. Mesozoic 'S-like' granites of the central and southern Andes; A review. In: Kay, S.M. and Rapela, C.W. (Eds), Plutonism from Antarctica to Alaska, Geological Society of America Special Paper 241, 2732.
- Sylvester, P.J., 1998. Post-collisional strongly peraluminous granites. *Lithos*, 45, pp. 2944.
- Tatar, S., 1997. Yozgat Batoliti Şefaatli Kuzey Kesiminin (Güney Yozgat) Petrolojik İncelenmesi. C.Ü. Fen Bilimleri Enstitüsü Yüksek Lisans Tezi, 94 s., (yayınlanmamış).
- Tatar, S. ve Boztuğ, D., 1997. Yozgat Batoliti GB Kesimindeki (Şefaatli-Yerköy Arası) Monzonitik Birlikte Fraksiyonel Kristalleşme ve Magma Karışması (Magma Mingling/Mixing) Süreçleri. Yerbilimleri, 30, s. 539-562.
- Tatar, S. and Boztuğ, D., 1998. Fractional crystallization and magma mingling/mixing processes in the monzonitic association in the SW part of the composite Yozgat Batholith (Şefaatli-Yerköy, SW Yozgat). *Tr. J. of Earth Sciences*, 7: 215-230.
- Yalınız, K.M., Aydin, N.S., Göncüoğlu, M.C. and Parlak O., 1999. Terlemez quartz monzonite of Central Anatolia (Aksaray-Sarıkaman): age, petrogenesis and geotectonic implications for ophiolite emplacement. *Geological Journal*, 34, 233-242.

Makale Geliş Tarihi : 16 Şubat 2004  
 Kabul Tarihi : 7 Temmuz 2005

*Received* : February 16, 2004  
*Accepted* : July 7, 2005